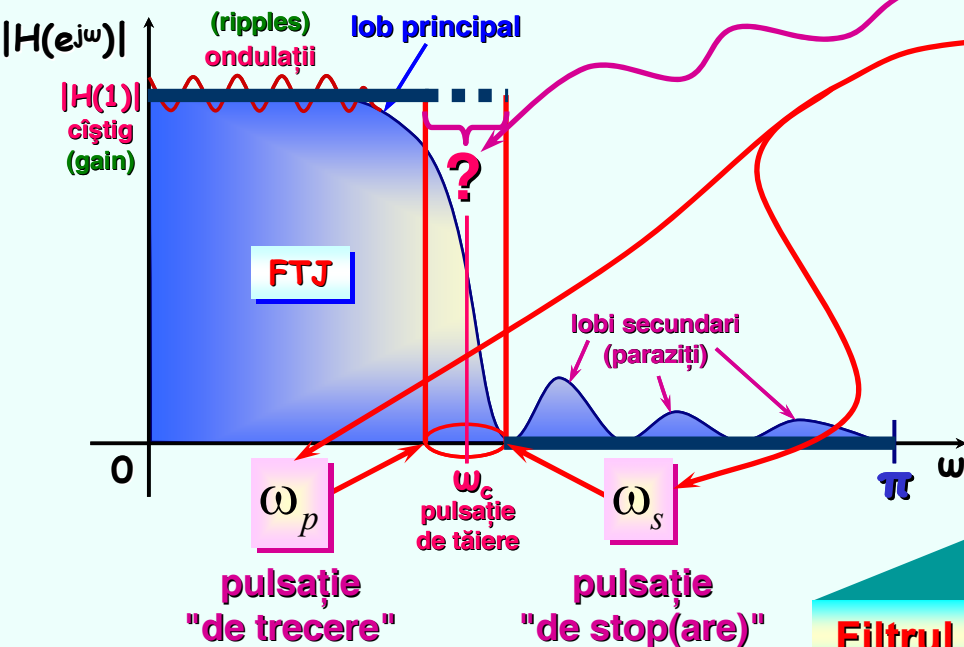


# 11.2 Proiectarea filtrelor optimale prin MCMMP



## Caracteristicile practice ale unui filtru numeric



- Ne propunem **să nu precizăm** cum se comportă filtrul în **zona tranzitorie**.
- Se precizează numai cele **două pulsații** care **mărginesc** zona tranzitorie.
- Se dorește ca filtrul proiectat **să se "apropie"** **cît mai mult** de **filtrul ideal**, simultan în banda de trecere și în banda de stop(are).

⚡ Nu se impun restricții în zona tranzitorie.

**Așadar**

**Filtrul ideal (FTJ)**

**Filtrul real (FIR, FTJ)**

Cum se poate exprima "apropierea" dintre cele două filtre?

$$H_{id}(e^{j\omega}) = \begin{cases} e^{-jK\omega} & , 0 \leq \omega \leq \omega_p \\ 0 & , \omega_s < \omega \leq \pi \end{cases}$$

de fază liniară

$$H(e^{j\omega}) = \sum_{n=0}^{M-1} h[n]e^{-j\omega n} \quad \forall \omega \in [0, \pi]$$

Folosind **diferite norme** definite în spațiul semnalelor.

**Două norme uzuale**

**Norma Euclidiană**

$$\|H\|^2 = \int_0^{\pi} |H(e^{j\omega})|^2 d\omega$$

**Norma infinit**

$$\|H\|_{\infty} = \max_{\omega \in [0, \pi]} |H(e^{j\omega})|$$



## Reformulări ale problemelor de optimizare

### Problema proiectării filtrelor pătratic optime

PPFO<sup>2</sup>

- Plecînd de la perechea de pulsații  $\{\omega_p, \omega_s\}$  și răspunsul ideal  $H_{id}$ , se cere să se proiecteze un filtru al cărui răspuns în frecvență  $H$  este cel mai aproape de răspunsul  $H_{id}$ , în sensul normei pătratice. Mai precis, filtrul este soluția problemei de optimizare pătratică de mai jos:

$$\min_{h \in \mathcal{S}_{dM}} \int_{\omega \in \Omega_{ps}} w(\omega) \left| H_{id}(e^{j\omega}) - H(e^{j\omega}) \right|^2 d\omega.$$

### Problema proiectării filtrelor asimptotic optime

PPFO<sub>∞</sub>

- Plecînd de la perechea de pulsații  $\{\omega_p, \omega_s\}$  și răspunsul ideal  $H_{id}$ , se cere să se proiecteze un filtru al cărui răspuns în frecvență  $H$  este cel mai aproape de răspunsul  $H_{id}$ , în sensul normei infinit. Mai precis, filtrul este soluția problemei de optimizare asimptotică de mai jos:

$$\min_{h \in \mathcal{S}_{dM}} \max_{\omega \in \Omega_{ps}} \left\{ w(\omega) \left| H_{id}(e^{j\omega}) - H(e^{j\omega}) \right| \right\}.$$

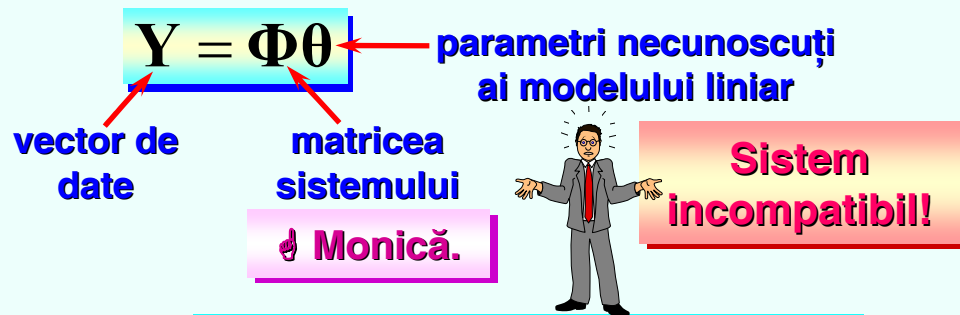
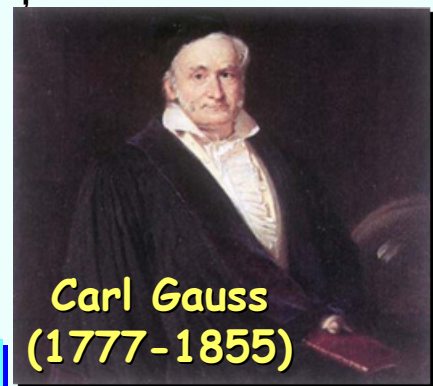
♣ Aici este luată în considerare și faza filtrului.

- PPFO<sup>2</sup> se rezolvă cu ajutorul **Metodei Celor Mai Mici Pătrate (MCMMP)**.
- PPFO<sub>∞</sub> se rezolvă cu ajutorul unui raționament bazat pe o **teoremă a lui Cebîșev** și **algoritmul lui Remez** (în implementarea lui Parks și McClellan).

# 11.2 Proiectarea filtrelor optimale prin MCMMP

## Despre MCMMP

- **Metoda Celor Mai Mici Pătrate (MCMMP)** se bazează pe **Teoria regresiei liniare**, inițiată de **Carl Gauss**.
- Această metodă este extrem de utilizată în inginerie, pentru a "(pseudo-)rezolva" sisteme liniare **incompatibile**.
- Un astfel de sistem apare adesea când se încearcă modelarea matematică liniară a unui set de date, dar modelul are un număr de parametri necunoscuți **mult mai mic** decât numărul datelor.



$$\mathbf{Y} = \Phi \times \theta$$

$N$   $n\theta$

Totuși

Matricea sistemului este **monică**, deci **de rang maxim**.

Ideea lui Gauss

Să încercăm să găsim modelul care **"trece cel mai bine printre date"**.

- În sensul minimizării următorului criteriu al **erorilor pătratice** dintre datele măsurate și cele simulate cu ajutorul modelului liniar:

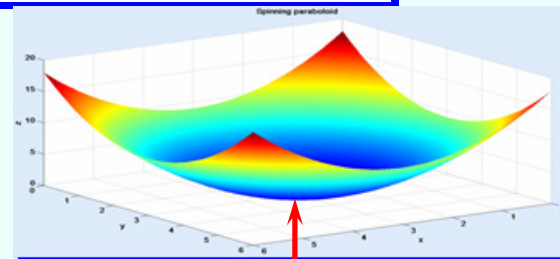
$$\mathcal{V}(\theta) = \sum_{n=0}^{N-1} \varepsilon^2[n, \theta] = \sum_{n=0}^{N-1} \left( y[n] - \phi^T[n] \theta \right)^2 \Rightarrow \hat{\theta} = \operatorname{argmin}_{\theta \in \mathbb{R}^{n\theta}} \mathcal{V}(\theta)$$

liniile matricii sistemului

Cum se poate rezolva problema de optimizare pătratică?

De exemplu, cu ajutorul metodei gradientului.

- Criteriul este un hiper-paraboloid de rotație.



Minim unic.

# 11.2 Proiectarea filtrelor optimale prin MCMMP



## Despre MCMMP (continuare)

parametrii estimați  
ai modelului liniar

### Exercițiu

- Arătați că:  $\nabla \mathcal{V}(\theta) = 0$

### Reguli de derivare

$$\nabla_x (b^T x) = b$$

$$\nabla_x (x^T A x) = (A + A^T) x$$

$$\hat{\theta} = \left( \sum_{n=0}^{N-1} \phi[n] \phi^T[n] \right)^{-1} \left( \sum_{n=0}^{N-1} \phi[n] y[n] \right)$$

$R^{-1}$

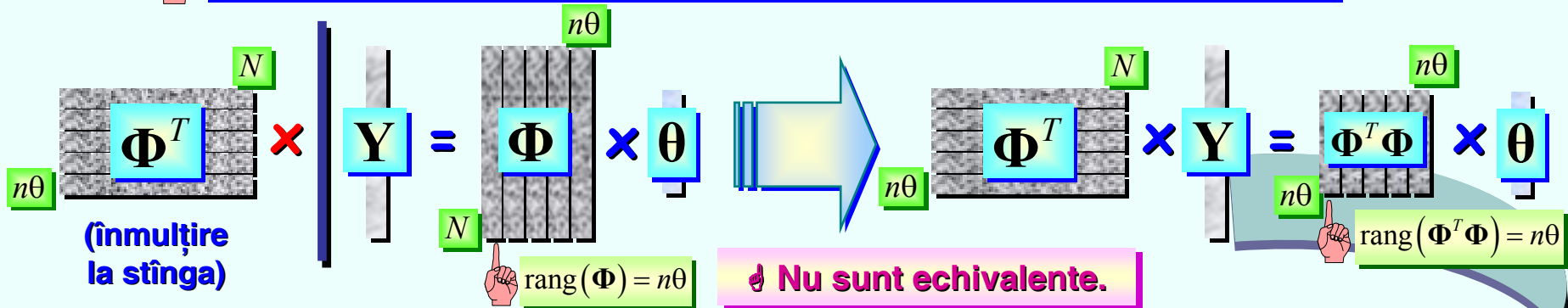
$r$

$$\hat{\theta} = (\Phi^T \Phi)^{-1} (\Phi^T Y) = R^{-1} r$$

Formula de  
implementare

Formula matricială  
compactă

Este ca și cum s-ar opera **direct asupra sistemului incompatibil.**



☹ Sistem incompatibil.

☺ Sistem compatibil și determinat.

### Pseudo-inversa Moore-Penrose

$$(\Phi^T \Phi)^{-1} \Phi^T$$

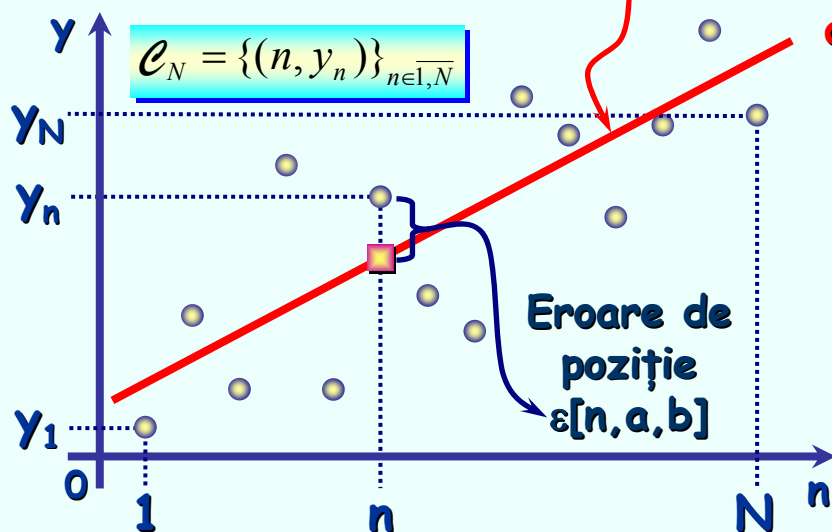
$$\hat{\theta} = \left( \Phi^T \Phi \right)^{-1} \Phi^T Y$$

# 11.2 Proiectarea filtrelor optimale prin MCMMP



## Despre MCMMP (final)

### Exemplu Evaluarea dreptei de regresie liniară prin MCMMP



Cum pot fi determinați cei doi parametri ai dreptei?

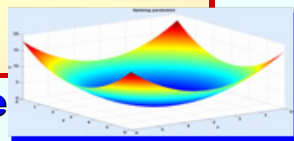


Prin minimizarea erorii pătratice totale.

$$\hat{\theta} = \underset{\theta \in \mathbb{R}^2}{\operatorname{argmin}} \mathcal{V}(\theta) = \underset{a \in \mathbb{R}^*, b \in \mathbb{R}}{\operatorname{argmin}} \left\{ \sum_{n=1}^N \varepsilon^2[n, a, b] \right\} =$$

$$= \underset{a \in \mathbb{R}^*, b \in \mathbb{R}}{\operatorname{argmin}} \left\{ \sum_{n=1}^N (y_n - an - b)^2 \right\}$$

paraboloid de rotație



Soluția problemei de optimizare se găsește anulând valorile gradientului.

$$\nabla \mathcal{V}(a, b) = 0 \Leftrightarrow \begin{cases} \frac{\partial}{\partial a} \mathcal{V}(a, b) = 0 \\ \frac{\partial}{\partial b} \mathcal{V}(a, b) = 0 \end{cases}$$

$$\begin{cases} -2 \sum_{n=1}^N n(y_n - an - b) = 0 \\ -2 \sum_{n=1}^N (y_n - an - b) = 0 \end{cases}$$

$$\begin{cases} \hat{a} = \frac{6}{N(N^2 - 1)} \left[ 2 \sum_{n=1}^N ny_n - (N + 1) \sum_{n=1}^N y_n \right] \\ \hat{b} = \frac{2}{N(N - 1)} \left[ (2N + 1) \sum_{n=1}^N y_n - 3 \sum_{n=1}^N ny_n \right] \end{cases}$$

### Exercițiu

- Arătați cum se poate aproxima un set de  $N$  date cu o parabolă, apoi cu un polinom oarecare. (curve fitting)



# 11.2 Proiectarea filtrelor optimale prin MCMMP



Cum se poate rezolva PPFO<sup>2</sup> cu ajutorul MCMMP?



PPFO<sup>2</sup>

$$\min_{h \in \mathcal{S}_{dM}} \int_{\omega \in \Omega_{ps}} w(\omega) \left| H_{id}(e^{j\omega}) - H(e^{j\omega}) \right|^2 d\omega$$

După cum urmează.

$$\mathcal{V}(\mathbf{h}) = \int_{\omega \in \Omega_{ps}} w(\omega) \left| H_{id}(e^{j\omega}) - \underbrace{\boldsymbol{\phi}^T(\omega) \mathbf{h}}_{H(e^{j\omega})} \right|^2 d\omega$$

$$\mathcal{V}(\mathbf{h}) = \int_{\omega \in \Omega_{ps}} w(\omega) \left( H_{id}(e^{j\omega}) - \boldsymbol{\phi}^T(\omega) \mathbf{h} \right) \left( \overline{H_{id}(e^{j\omega}) - \boldsymbol{\phi}^T(\omega) \mathbf{h}} \right) d\omega$$

$$\left| H_{id}(e^{j\omega}) \right|^2 - \left( H_{id}(e^{j\omega}) \overline{\boldsymbol{\phi}^T(\omega)} + \overline{H_{id}(e^{j\omega})} \boldsymbol{\phi}^T(\omega) \right) \mathbf{h} + \mathbf{h}^T \boldsymbol{\phi}(\omega) \boldsymbol{\phi}^T(\omega) \mathbf{h}$$

(formă pătratică)

Însă

⚡ Are valori reale.

➔ Termenul liber nu influențează minimizarea.

➔ Partea imaginară trebuie să fie nulă.

$$2 \left\{ \text{Re} \left[ H_{id}(e^{j\omega}) \right] \underbrace{\mathbf{c}^T(\omega)}_{\mathbf{q}^T(\omega)} - \text{Im} \left[ H_{id}(e^{j\omega}) \right] \underbrace{\mathbf{s}^T(\omega)}_{\mathbf{q}^T(\omega)} \right\} \in \mathbb{R}$$

$\mathbf{q}^T(\omega)$

$$\begin{bmatrix} 1 & \cos \omega & \cdots & \cos((M-1)\omega) \end{bmatrix}$$

$$\begin{bmatrix} 1 & \sin \omega & \cdots & \sin((M-1)\omega) \end{bmatrix}$$

$$\mathbf{h}^T \left[ \mathbf{c}(\omega) \mathbf{c}^T(\omega) + \mathbf{s}(\omega) \mathbf{s}^T(\omega) \right] \mathbf{h} + j \mathbf{h}^T \left[ \mathbf{c}(\omega) \mathbf{s}^T(\omega) - \mathbf{s}(\omega) \mathbf{c}^T(\omega) \right] \mathbf{h}$$

Astfel

Se poate simplifica expresia criteriului pătratic.

$$\mathcal{V}(\mathbf{h}) \leftarrow \mathbf{h}^T \int_{\omega \in \Omega_{ps}} w(\omega) \left( \underbrace{\mathbf{P}(\omega)}_{\text{(Toeplitz simetrică)}} \mathbf{h} - 2 \mathbf{q}(\omega) \right) d\omega$$

⚡ Necunoscute.

$$H(e^{j\omega}) = \sum_{n=0}^{M-1} h[n] e^{-j\omega n} \quad \forall \omega \in [0, \pi]$$

# 11.2 Proiectarea filtrelor optime prin MCMMP



Noul criteriu poate fi minimizat, pentru a găsi o pseudo-soluție nebanală.

Gradient  
nul

$$2 \int_{\omega \in \Omega_{ps}} w(\omega) (P(\omega)h - q(\omega)) d\omega = 0$$

$$\left( \int_{\omega \in \Omega_{ps}} w(\omega) P(\omega) d\omega \right) h = \int_{\omega \in \Omega_{ps}} w(\omega) q(\omega) d\omega$$

**R** (simetrică)

**r**

Expresia pseudo-soluției.

$$\hat{h} = \left( \int_{\omega \in \Omega_{ps}} w(\omega) P(\omega) d\omega \right)^{-1} \left( \int_{\omega \in \Omega_{ps}} w(\omega) q(\omega) d\omega \right) = R^{-1} r$$

Detalii de implementare

→ Valoarea minimă a criteriului pătratic poate fi utilizată pentru a alege o dimensiune convenabilă a secvenței pondere a FIR (M).

- Valoarea minimă a criteriului pătratic este:

$$\begin{aligned} \mathcal{V}(\hat{h}) &= \int_{\omega \in \Omega_{ps}} w(\omega) \left| H_{id}(e^{j\omega}) \right|^2 d\omega - 2 \left( \int_{\omega \in \Omega_{ps}} w(\omega) q^T(\omega) d\omega \right) \hat{h} + \hat{h}^T \left( \int_{\omega \in \Omega_{ps}} w(\omega) P(\omega) d\omega \right) \hat{h} = \\ &= \mathcal{V}_{id} - \mathbf{r}^T R^{-1} \mathbf{r} = \mathcal{V}_{id} - \mathbf{r}^T \hat{h} \geq 0 \end{aligned}$$

→ În general, se operează cu două ferestre de ponderare diferite: una pentru banda de trecere și alta pentru banda de stop.

$$R = \int_0^{\omega_p} w_p(\omega) P(\omega) d\omega + \int_{\omega_s}^{\pi} w_s(\omega) P(\omega) d\omega$$

$$r = \int_0^{\omega_p} w_p(\omega) q(\omega) d\omega + \int_{\omega_s}^{\pi} w_s(\omega) q(\omega) d\omega$$

Exercițiu

- Arătați cum se poate aplica metoda pseudo-inversei Moore-Penrose pentru a ajunge la expresia pseudo-soluției.

- Se poate opera cu ferestre dreptunghiulare (fără ponderare).
- Ferestrele pot fi utilizate și pentru a asigura inversabilitatea matricii R.

# 11.2 Proiectarea filtrelor optimale prin MCMMP



## Detalii de implementare

➔ În general, ferestrele de ponderare și răspunsul dorit în frecvență se aleg în așa fel încât integralele să se poată evalua în formă completă.

### Exerciții

- Arătați că elementul generic al matricii P este:

$$P_{i,j}(\omega) = \cos[(i-j)\omega] \quad \forall \omega \in \Omega_{ps}$$

- Arătați că elementul generic al vectorului q este:

$$q_i(\omega) = \cos[(K-i)\omega] \quad \forall \omega \in [0, \omega_p]$$

### Rezultă

$$R_{i,j} = \int_0^{\omega_p} w_p(\omega) \cos[(i-j)\omega] d\omega + \int_{\omega_s}^{\pi} w_s(\omega) \cos[(i-j)\omega] d\omega$$

$$r_i = \int_0^{\omega_p} w_p(\omega) \cos[(K-i)\omega] d\omega$$

$$\forall i, j \in \overline{0, M-1}$$

$$\forall i, j \in \overline{0, M-1}$$

$$H_{id}(e^{j\omega}) = 0 \quad \forall \omega \in [\omega_s, \pi]$$

### Exemplu

#### Cazul ferestrelor dreptunghiulare

$$R_{i,j} = \omega_p \text{Sc}[(i-j)\omega_p] - \omega_s \text{Sc}[(i-j)\omega_s] + \pi \delta_0[i-j]$$

$$r_i = \omega_p \text{Sc}[(K-i)\omega_p]$$

$$\forall i, j \in \overline{0, M-1}$$



$$\int_{\omega_1}^{\omega_2} \cos(n\omega) d\omega = \omega_2 \text{Sc}(n\omega_2) - \omega_1 \text{Sc}(n\omega_1)$$

☺ Era de așteptat să se obțină un sinus cardinal.

$$\hat{h}[i] = \frac{\omega_p}{\pi} \text{Sc}[(K-i)\omega_p] \quad \forall i \in \overline{0, M-1}$$

**DAR**

$$\mathbf{R} = \pi \mathbf{I}_M$$

☹ Performanța filtrului e modestă.

☞ Pentru ca matricea R să fie inversabilă nu este necesar ca pulsațiile critice să fie diferite.

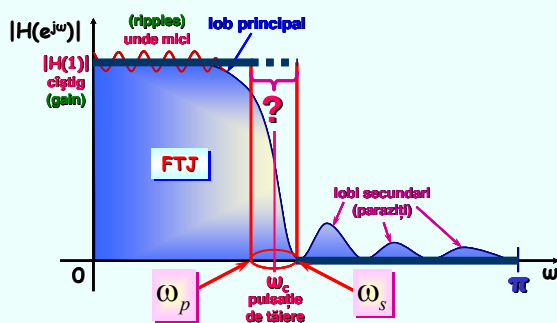
- Dacă se dorește **suprimarea zonei tranzitorii**, atunci se recomandă utilizarea unor **ferestre de ponderare diferite de cea dreptunghiulară**.





# 11.2 Proiectarea filtrelor optime prin MCMMP

## Algoritmul de proiectare a filtrelor optime FIR, de tip FTJ, prin Metoda Celor Mai Mici Pătrate



$F_p$  [Hz]

(frecvența de trecere a filtrului analogic corespunzător)

$F_s$  [Hz]

(frecvența de stop a filtrului analogic corespunzător)

• Implicit:  $F_s = 1.1 \cdot F_p$

$T_s$  [s]

(perioada de eșantionare)

• Implicit:  $T_s = \frac{2}{2.1 \cdot (F_p + F_s)}$

$w_p$   $w_s$

(tipurile de ferestre dorite)

• Implicit: ferestre dreptunghiulare

$M$

(ordinul maxim al filtrului – întreg pozitiv)

$K$

(coeficientul de fază liniară – întreg nenegativ)

• Implicit:  $K = \left\lfloor \frac{M}{2} \right\rfloor$

$\varepsilon > 0$

(pragul de precizie pentru criteriul pătratic – subunitar)

• Implicit:  $\varepsilon = 10^{-7}$

### Inițializare

1. Se calculează pulsațiile critice relative.

$$\omega_p = 2\pi F_p T_s \text{ [rad]}$$

$$\omega_s = 2\pi F_s T_s \text{ [rad]}$$

2. Se calculează valoarea maximă a criteriului pătratic.

$$\mathcal{V}_{id} = \int_{\omega \in \Omega_{ps}} w(\omega) \left| H_{id}(e^{j\omega}) \right|^2 d\omega = \int_0^{\omega_p} w_p(\omega) d\omega$$



# 11.2 Proiectarea filtrelor optime prin MCMMP

Algoritmul de proiectare a filtrelor optime FIR, de tip FTJ, prin Metoda Celor Mai Mici Pătrate

(continuare)

Inițializare

3. Se inițializează ordinul filtrului.  $m = 1$

4. Se inițializează eroarea relativă.  $\delta = 1$

Bucă iterativă

⌋ Cât timp  $\delta > \varepsilon$  &  $m \leq M$

1. Se construiește matricea de inversat.  $\mathbf{R}$

$$R_{i,j} = \int_0^{\omega_p} w_p(\omega) \cos[(i-j)\omega] d\omega + \int_{\omega_s}^{\pi} w_s(\omega) \cos[(i-j)\omega] d\omega$$

$\forall i, j \in \overline{0, m-1}$

⚡ Eventual, prin integrare numerică.

2. Dacă matricea nu este inversabilă, se oprește algoritmul și se sare direct la datele de ieșire.

⚡ În mod normal, cel puțin filtrul de ordin  $m=1$  va fi disponibil.

3. Se construiește vectorul liber.  $\mathbf{r}$

$$r_i = \int_0^{\omega_p} w_p(\omega) \cos[(K-i)\omega] d\omega + \int_{\omega_s}^{\pi} w_s(\omega) \cos[(K-i)\omega] d\omega$$

$\forall i \in \overline{0, m-1}$

⚡ Eventual, prin integrare numerică.

4. Se proiectează filtrul optimal.  $\hat{\mathbf{h}} = \mathbf{R}^{-1} \mathbf{r}$

5. Se evaluează performanța filtrului optimal.

$$\mathcal{V}(\hat{\mathbf{h}}) = \mathcal{V}_{id} - \mathbf{r}^T \hat{\mathbf{h}}$$

# 11.2 Proiectarea filtrelor optime prin MCMMP

Algoritmul de proiectare a filtrelor optime FIR, de tip FTJ, prin Metoda Celor Mai Mici Pătrate

(final)

Bucă iterativă

⌂ Cît timp  $\delta > \varepsilon$  &  $m \leq M$

DA

$m > 1$ ?

NU

6. Se evaluează eroarea relativă.

$$\delta = \frac{|\mathcal{V}_M - \mathcal{V}(\hat{h})|}{\mathcal{V}_{id}}$$

7. Se memorează performanța filtrului curent.

$$\mathcal{V}_M = \mathcal{V}(\hat{h})$$

8. Se incrementează ordinul filtrului.

$$m \leftarrow m + 1$$

Date de ieșire

$\mathbf{h}$

$$100 \cdot \mathcal{V}(\hat{h}) / \mathcal{V}_{id}$$

$m$

(vectorul secvenței pondere a filtrului optimal)

(performanța relativă a filtrului optimal – în procente)

(ordinul filtrului optimal)

## Exerciții

- Particularizați algoritmul de mai sus pentru cazul ferestrelor triunghiulare și analizați condițiile de inversabilitate.
- Concepeți algoritmi aferenți pentru proiectarea filtrelor optime FIR de tip **trece-bandă (FTB)**, **trece-sus (FTS)** și **multi-bandă (FMB)**.

Similar, se pot proiecta FTB, FTS și chiar FMB.



134

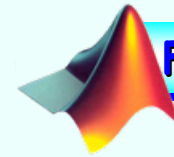


# ①①.② Proiectarea filtrelor optime prin MCMMP

## Exemple

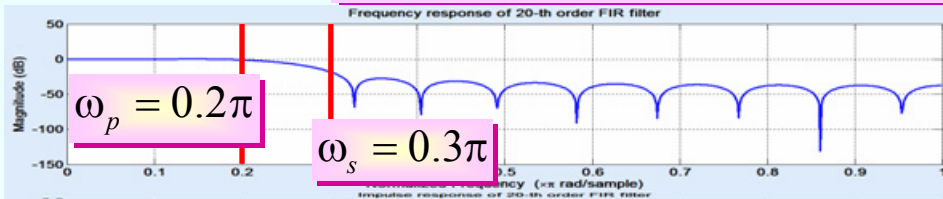
Filtre FIR de tip FTJ, de diferite ordine, proiectate folosind MCMMP

👉 Cu fereastră dreptunghiulară.

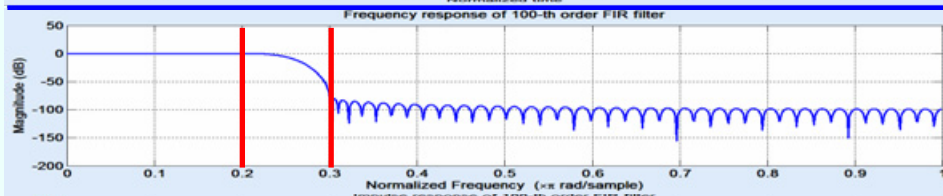
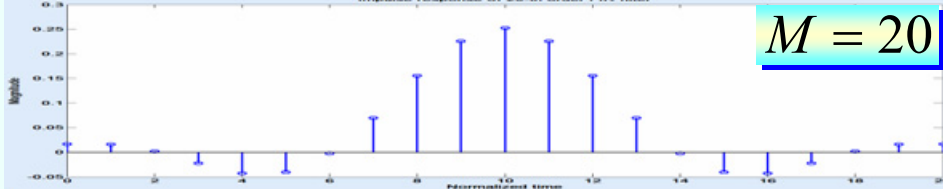


Funcție utilă

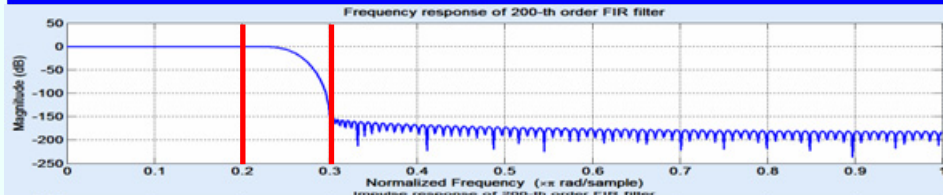
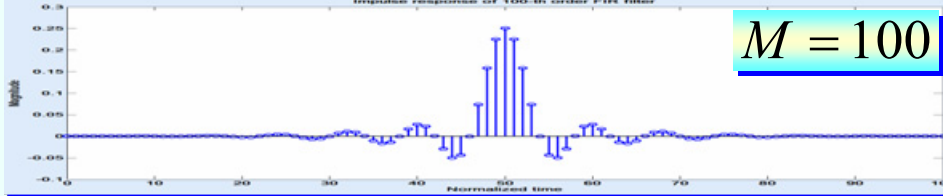
firls



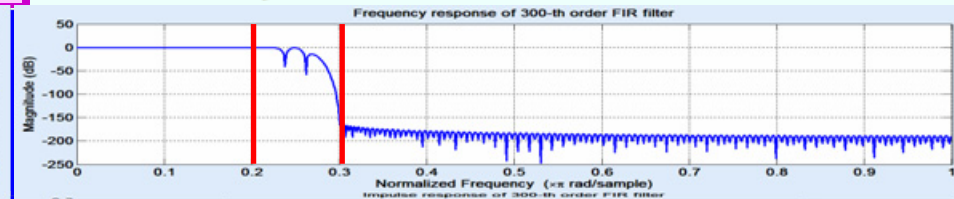
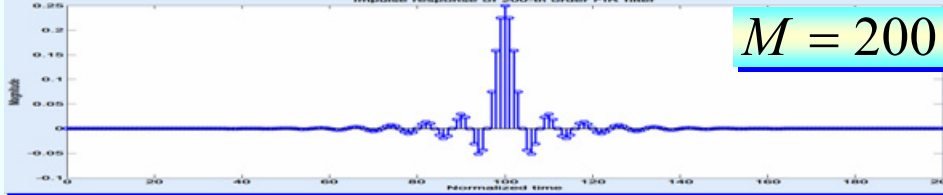
$M = 20$



$M = 100$

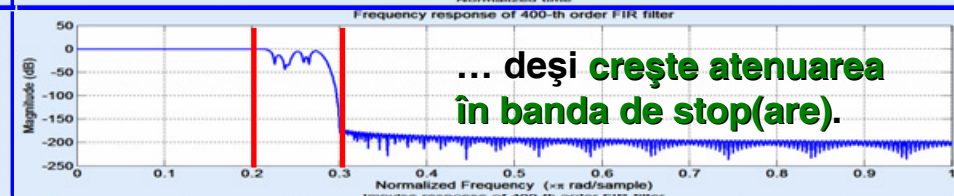


$M = 200$

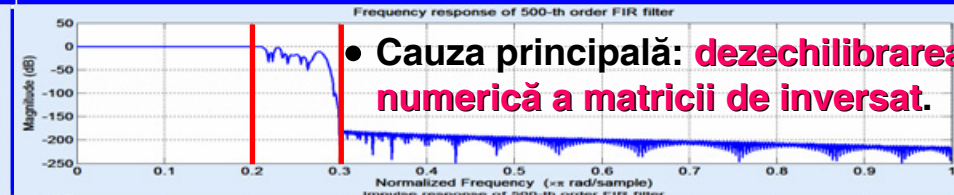
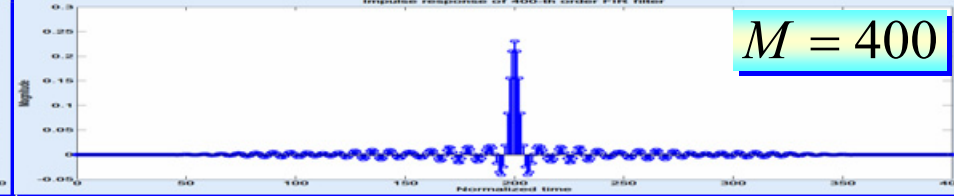


$M = 300$

- Dacă ordinul e prea mare, apar **distorsiuni în zona tranzitorie...**

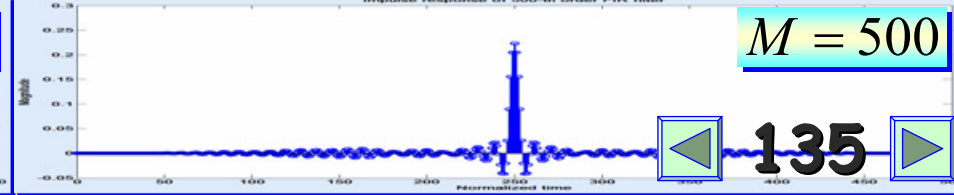


$M = 400$



$M = 500$

- Causa principală: **dezechilibrarea numerică a matricii de inversat.**



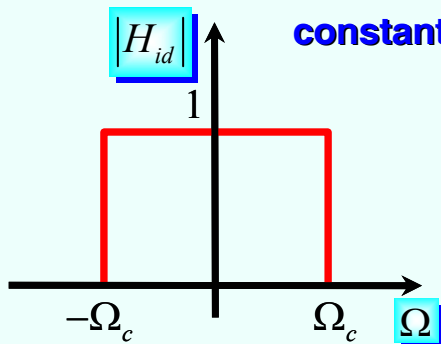
# 11.2 Proiectarea filtrelor optimale prin MCMMP



## Proiectarea filtrelor IIR prin MCMMP

- Se va dezvolta algoritmul de proiectare a **FTJ** (pentru celelalte categorii de filtre, algoritmul fiind similar).

Filtrul ideal  
continual

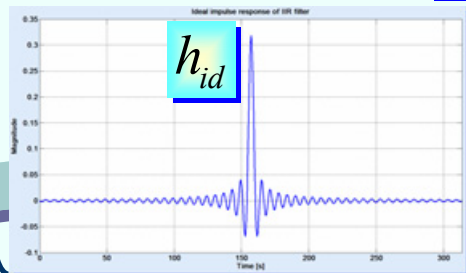


constanta întârzierii de grup

unitatea de măsură a timpului  
(perioada de eșantionare)

$$H_{id}(j\Omega) = \begin{cases} e^{-jK\Omega T_s} & , |\Omega| \leq \Omega_c \\ 0 & , |\Omega| > \Omega_c \end{cases}$$

$$\Omega_c = \frac{\omega_c}{T_s}$$



Funcția pondere?

Exercițiu

pulsăția absolută  
de tăiere  
(determinată de  
cea relativă  
impusă)

parametru de control al  
numărului de eșantioane

👉 Cîteva zeci, cel puțin.

O versiune  
eșantionată

$$h_d[n] = h_{id}(nT_s)$$

$$\forall n \in K-N, K+N$$

Care e legătura cu filtrul discret IIR?

vectorul regresorilor

Exercițiu

- Deduceți  
forma  
vectorului  
regresorilor.

Mai mult

$$H_d \Rightarrow h_d[n]$$

$$h_d[n] = \Phi^T[n] \cdot \Theta$$

forma de regresie liniară

$$\forall n \in K-N, K+N$$

$$\begin{bmatrix} a_1 & a_2 & \dots & a_{na} & | & b_0 & b_1 & \dots & b_{nb} \end{bmatrix}^T$$

vectorul parametrilor necunoscuți



# 11.2 Proiectarea filtrelor optimale prin MCMMP



## Proiectarea filtrelor IIR prin MCMMP (continuare)

- Acum, se poate formula problema de optimizare caracteristică **MCMMP**.

### Criteriul de optimizare

$$\mathcal{V}(\theta) = \sum_{n=K-N}^{K+N} (h_d[n] - \phi^T[n]\theta)^2 = \sum_{n=K-N}^{K+N} (h_{id}(nT_s) - \phi^T[n]\theta)^2$$

$$\hat{\theta} = \underset{\theta \in \mathbb{R}^{na+nb+1}}{\operatorname{argmin}} \mathcal{V}(\theta)$$

### Soluția

$$\hat{\theta} = \left( \sum_{n=K-N}^{K+N} \phi[n]\phi^T[n] \right)^{-1} \left( \sum_{n=K-N}^{K+N} \phi[n]h_{id}(nT_s) \right)$$

- Caracteristici ale soluției **MCMMP**:

☺ Este relativ ușor de implementat.

☺ Permite testarea mai multor filtre, prin varierea ordinilor acestora.

☹ Pentru ordine prea mari, nu mai este garantată stabilitatea intrinsecă.

### Detalii de implementare

- Există posibilitatea de a micșora dimensiunile sumelor de mai sus prin considerarea simetriei funcției pondere.

#### Exercițiu

- Arătați că simetria secvenței pondere a unui filtru IIR induce simetria polinoamelor sale.

Polinom simetric?

$$\alpha_0 + \alpha_1 q^{-1} + \alpha_2 q^{-2} + \cdots + \alpha_{p-2} q^{2-p} + \alpha_{p-1} q^{1-p} + \alpha_p q^{-p}$$

#### Exercițiu

- Reformulați problema de proiectare a filtrelor IIR prin **MCMMP** dacă se ia în considerare simetria secvenței pondere.
- O altă abordare, mai eficientă, este aceea de a considera doar a doua jumătate a funcției pondere ca sursă furnizoare de date.
- În acest caz, polinoamele nu mai sunt neapărat simetrice, dar se poate determina doar partea cauzală a secvenței pondere; partea anti-cauzală folosește simetricele polinoamelor de la partea anti-cauzală.

#### Exercițiu

# 11.2 Proiectarea filtrelor optime prin MCMMP

## Proiectarea filtrelor IIR prin MCMMP (final)



Exemple

Filtre IIR de tip FTJ, de diferite ordine, proiectate folosind MCMMP

$$\omega_c = 0.25\pi$$



$$na = nb = 1$$



$$na = nb = 6$$



$$na = nb = 2$$



$$na = nb = 7$$



$$na = nb = 3$$



$$na = nb = 8$$

the best



$$na = nb = 4$$



La limita de instabilitate.

$$na = nb = 9$$



$$na = nb = 5$$



Instabilitate.

$$na = nb = 10$$